

## ارزیابی کیفیت تودهسنگ بخش زیرزمینی معدن انگوران با استفاده از تحلیل‌گر زمین آماری در محیط GIS

یاسین تقیوی<sup>۱</sup>، جعفر خادمی حمیدی<sup>۲</sup>، احمد رضا صیادی<sup>۳</sup>

- ۱ دانشجوی کارشناسی ارشد، گروه استخراج معدن، دانشکده فنی و مهندسی، دانشگاه تربیت مدرس  
-۲ استادیار، گروه استخراج معدن، دانشکده فنی و مهندسی، دانشگاه تربیت مدرس  
-۳ دانشیار، گروه استخراج معدن، دانشکده فنی و مهندسی، دانشگاه تربیت مدرس

تاریخ دریافت مقاله: ۹۴/۰۸/۱۱ تاریخ پذیرش مقاله: ۹۵/۰۳/۰۹

### چکیده

یکی از پارامترهای تاثیرگذار در طراحی معدن زیرزمینی، ویژگی‌سنگی تودهسنگ است. این تحقیق به منظور پیش‌بینی توزیع وضعیت کیفی و پهنگ‌بندی تودهسنگ افق ۲۷۴۰+ بخش زیرزمینی معدن انگوران به کمک تخمین‌گر زمین‌آماری انجام شده است. بدین منظور داده‌های کیفیت تودهسنگ بر اساس شاخص  $Q$  شامل ۴۲۷ نقطه در تونلهای آماده‌سازی جمع‌آوری شد. نتایج تحلیل داده‌های  $Q$  نشان داد که: ۱- داده‌ها از توزیع نرمال برخوردار نیست، ۲- خطای بارز عمومی و محلی در داده‌ها وجود ندارد و ۳- در داده‌ها روند وجود دارد. به دلیل وجود روند در داده‌های  $Q$ ، از روش کریجینگ عام برای درون‌یابی استفاده شد. با ارزیابی پنج معیار خطای تخمین، بهترین مدل واریوگرام انتخاب شد. بررسی‌ها نشان داد که واریوگرام مدل کروی، بهترین مدل برآش شده به ساختار فضایی داده‌ها است. اعتبارستجوی متقابل، دقت بالای پیش‌بینی را نشان داد. سپس نقشه رده‌بندی وضعیت کیفیت تودهسنگ محدوده مورد مطالعه در محیط آرک جی آی اس تهییه شد. نتایج حاصل نشان داد که تقریباً ۵۳٪ از مساحت کل محدوده مورد مطالعه، در رده تودهسنگ ضعیف تا فوق العاده ضعیف، ۸٪ در رده تودهسنگ متوسط و ۳۹٪ در رده تودهسنگ خوب تا فوق العاده خوب قرار دارد.

**کلیدواژه‌ها:** رده‌بندی کیفیت تودهسنگ، تخمین‌گر زمین‌آماری، سیستم اطلاعات جغرافیایی (GIS)، معدن سرب و روی انگوران.

## ۱- مقدمه

در زمینه مهندسی سنگ ارائه شده است. در این میان، سیستم‌های رده‌بندی<sup>۱</sup> RMR و Q از رایج‌ترین طبقه‌بندی‌های مورد استفاده در ویژگی سنجی توده‌سنگ و طراحی فضاهای زیرزمینی می‌باشد. کیفیت توده سنگ یک منطقه را می‌توان به روش‌های مختلف پیش‌بینی کرد. یکی از روش‌های قابل کاربرد، روش‌های زمین آماری با همه مزایای آن است که تاکنون کمتر مورد توجه قرار گرفته است. در معادن زیرزمینی با استفاده از زمین آمار می‌توان ارتباط فضایی شاخص‌های کیفیت توده سنگ را تعیین کرد و با استفاده از درون‌یابی، مقادیر آن را در فواصل بین نقاط برداشت و تمام محدوده ذخیره تخمین زد. از نقشه توزیع حاصل می‌توان برای طراحی‌های مختلف از جمله روش مناسب کنترل زمین (و به عنوان مثال انتخاب و طراحی مقاومت پرکننده در صورت نیاز به پرکردن کارگاه) استفاده کرد.

هدف از انجام تحقیق حاضر، بررسی همبستگی فضایی شرایط توده سنگ و امکان ارائه روشی برای پهنه‌بندی کیفیت توده‌سنگ ساختگاه یک معدن زیرزمینی با تلفیق تحلیل‌گر زمین آماری و سیستم اطلاعات جغرافیایی<sup>۲</sup> (GIS) است. برای این کار از داده‌های ژئومکانیکی مربوط به سیستم رده‌بندی Q در افق  $+2740$  و بخش زیرزمینی معدن سرب و روی انگوران به عنوان مطالعه موردی استفاده می‌شود. در این معدن، بر اساس طرح استخراجی، قرار است از پرکننده برای کنترل زمین استفاده شود. در ابتدا و بر اساس اطلاعات به دست آمده در حین حفر تونلهای آمده‌سازی، مقدار Q در ۴۲۷ نقطه (هر نقطه به ازای یک متر پیشروی تونل آماده سازی حین حفاری) محاسبه و یک بانک اطلاعاتی توسعه داده می‌شود. سپس با استفاده از روش درون‌یابی کریجینگ و

<sup>1</sup> Rock Mass Rating (RMR)

<sup>2</sup> Geographic information system

مطالعات ساختگاهی و حفر گمانه‌های اکتشافی در پروژه‌های تونل‌سازی و معدنکاری زیرزمینی عمدتاً به صورت مشابه انجام می‌شود اما در عمل و به هنگام تفسیر و تعیین نتایج برای طراحی فضاهای بسیار متفاوتند. پروژه‌های معدنی در مقایسه با تونل‌سازی نیاز به حفر گمانه‌های اکتشافی بیشتری برای ویژگی سنجی کانسار و شناخت محدوده ذخیره با توجه به هندسه آن دارد. همچنین در حفر گمانه اکتشافی در معادن زیرزمینی، آگاهی از اطلاعات ژئومکانیکی توده‌سنگ از جمله مقاومت سنگ، درزه‌داری، شرایط ناپیوستگی‌ها و حضور ساختارهای زمین‌شناسی، در کنار داده‌های عیار‌سنجدی ضروری است. در حین استخراج، علاوه بر عیار و بازیابی ماده معدنی، پایداری کارگاه استخراج و نحوه کنترل زمین در موفقیت آمیز بودن عملیات نقش دارد. چرا که اگر امکان استخراج کانسنج با عیار بالاتر از عیار حد در شرایط پایدار زمین فراهم نباشد، کارگاه استخراج تا زمان ارائه طرحی برای پایدارسازی جبهه کار در آن قسمت آماده‌سازی نمی‌شود.

نایداری کارگاه استخراج در معادن زیرزمینی با بروز آسیب به پرسنل و تجهیزات، ممکن است صدمات پرهزینه و جبران ناپذیری به دنبال داشته باشد. به علاوه با بروز تأخیر به علت تمیزکاری و برگشت به شرایط عادی، ممکن است برنامه تولید را از زمان‌بندی پیش‌بینی شده معدن دور کند. از این‌رو، شناخت وضعیت کیفیت توده‌سنگ یک پیش‌نیاز بسیار مهم برای تحلیل پایداری و طراحی فضاهای در معدن کاری زیرزمینی به شمار می‌رود. استفاده از رده‌بندی‌های توده‌سنگ به عنوان روش تجربی (در کنار روش‌های تحلیلی و مشاهده‌ای) در طراحی روش حفاری، کنترل چینه‌ها و نگهداری فضاهای زیرزمینی به دلیل سهولت کاربرد بسیار رایج و گسترده شده است. از حدود صد سال گذشته سیستم‌های رده‌بندی مختلفی با اهداف متفاوت

امتیازدهی تودهسنگ (RMR) از سوی بنیاوسکی<sup>۸</sup> [۵] و اندیس کیفیت تودهسنگ Q از سوی بارتون و همکاران<sup>۹</sup> [۶] منجر شده است. در ادامه سیستم‌های دیگری همچون اندیس تودهسنگ<sup>۱۰</sup> (RMi) توسط پالمستروم [۷] و اندیس مقاومت زمین‌شناسی<sup>۱۱</sup> (GSI) توسط هوک و براؤن<sup>۱۲</sup> [۸] ارائه شد. در همان سال‌ها و همچنین در سال‌های اخیر، سیستم‌های ردهبندی دیگری با اهداف مختلف توسعه داده شد. همچنین، بسیاری از محققان، تعدادی از سیستم‌های ردهبندی موجود را برای اهداف خاص در زمینه‌های مختلف مهندسی سنگ با کم و زیاد کردن تعداد پارامترهای ورودی و یا تغییر امتیاز پارامترها اصلاح کردند. امروزه تعداد بسیار زیادی از سیستم‌های ردهبندی در زمینه‌های مختلف مهندسی سنگ وجود دارد، اما تنها تعداد کمی از این سیستم‌ها مثل RMR, Q, GSI و RMi با کاربری عمومی از مقبولیت کافی در بین زمین‌شناسان و مهندسان معدن و عمران برخوردار است.

سیستم‌های ردهبندی با هدف کمی کردن و ارائه یک زبان مشترک (به عنوان مثال بین زمین‌شناس و طراح) برای درک مناسب از کیفیت و رفتار مورد انتظار از تودهسنگ ارائه شده است. اما تودهسنگ، طبیعت تغییرپذیری دارد و ماهیت آن بسته به محل اندازه‌گیری و فاصله از آن تغییر می‌کند. در سازه‌های زیرزمینی و به ویژه معادن زیرزمینی که دقت طراحی به دقت اندازه‌گیری و تخمین متغیرها در نقاط فاقد نمونه‌برداری و اندازه‌گیری وابسته است، آگاهی از عدم قطعیت‌های بزرگ و تغییرپذیری‌های ذاتی در تودهسنگ بسیار مهم و بحرانی است.

<sup>8</sup> Bieniawski

<sup>9</sup> Barton et al.

<sup>10</sup> Rock Mass index (RMi)

<sup>11</sup> Geological Strength Index (GSI)

<sup>12</sup> Hoek and Brown

انجام تحلیل‌های لازم، مقدار Q در منطقه تخمین زده می‌شود. به خاطر توانایی بالای GIS در جمع‌آوری، ذخیره‌سازی، تجزیه و تحلیل داده‌های مکانی نظری آنالیزهای تخمین زمین‌آماری، مدیریت پایگاه داده‌ها، تلفیق متغیرهای مختلف با یکدیگر، اعتبارسنجی نتایج و ارائه مدل نهایی و خروجی به فرم یک نقشه، از تخمین‌گر زمین‌آماری در محیط GIS به منظور پنهانه‌بندی وضعیت کیفیت توده سنگ در کل محدوده مورد مطالعه استفاده می‌شود.

## ۲- پیشینه تحقیق

سیستم‌های ردهبندی تودهسنگ به خاطر سادگی و سهولت استفاده، در طراحی مقدماتی پروژه‌های مهندسی معدن و عمران استفاده می‌شود. هدف اصلی از به کارگیری این روش‌های تجربی، ویژگی‌سنجی تودهسنگ، تقسیم تودهسنگ به کلاس‌های مختلف، تحلیل پایداری و انتخاب سیستم نگهداری مناسب است. ایده بار سنگ<sup>۱</sup> مطرح شده از سوی ترازاچی<sup>۲</sup> در سال ۱۹۴۶ [۱] اولین تلاش عملیاتی برای تقسیم توده سنگ به کلاس‌های مختلف برای انتخاب سیستم نگهداری مناسب در تولیدسازی بوده است که بعدها با ارائه مفهوم زمان خودایستایی از سوی لوفر<sup>۳</sup> در سال ۱۹۵۸ [۲] و اندیس کیفی سنگ<sup>۴</sup> (RQD) از سوی دیر<sup>۵</sup> در سال ۱۹۶۳ [۳] دنبال شد. تلاش برای توسعه سیستم‌های ردهبندی تودهسنگ با چند پارامتر ورودی در دهه ۱۹۷۰، به ارائه سیستم امتیازدهی ساختار سنگ<sup>۶</sup> (RSR) از سوی ویکهام و همکاران<sup>۷</sup> [۴]، سیستم

<sup>1</sup> Rock load

<sup>2</sup> Terzaghi

<sup>3</sup> Lauffer

<sup>4</sup> Rock Quality Designation (RQD)

<sup>5</sup> Deere

<sup>6</sup> Rock Structure Rating (RSR)

<sup>7</sup> Wickham et al.

داده ثانویه برای تخمین RMR در نقاط فاقد نمونه برداری استفاده شد و در نهایت با اعتبارسنجی متقابل بین مقادیر پیش‌بینی و اندازه گیری شده، نتایج بدست آمده اعتبارسنجی شد. رفیعی و وینچز<sup>۳</sup> [۱۳] از ویژگی زمین آمار برای تولید یک مدل سه بعدی به منظور تعیین ساختار شکست توده سنگ استفاده کردند. آنها در این مطالعه نشان دادند که ترکیب زمین آمار با روش‌های سنتی قادر به پیش‌بینی خوبی از توزیع فضایی شکستگی‌ها در زمین است. الفیمو و آیدسویک<sup>۴</sup> [۱۴] ضمن بیان اهمیت شناخت درزه در پروژه‌های معدنی و تونل‌سازی، به کمک روش‌های زمین آماری، فراوانی درزه‌های نامعلوم محلی را پیش‌بینی کردند. اصفهانی و اصغری [۱۵] با استفاده از شبیه‌سازی زمین آماری مقادیر RQD در معدن گزستان، به پیش‌بینی وجود مناطق گسلی در این معدن پرداختند. فراری و همکاران<sup>۵</sup> [۱۶] به کمک روش‌های زمین آماری، وضعیت کیفیت توده سنگ (RMR) محدوده ۲۰۰ کیلومتر مربعی در مرکز آلپس ایتالیا را پیش‌بینی کردند. آنها در این مطالعه دریافتند که وضعیت کیفیت توده سنگ به شدت به تاریخچه زمین شناسی منطقه و ساختار زمین شناسی وابسته است. دوست‌محمدی و همکاران [۱۷] با استفاده از مدل‌سازی زمین آماری به تخمین شرایط ناپیوستگی‌ها (به عنوان یکی از پارامترهای ورودی سیستم رده‌بندی (RMR) در راستای محور پیشنهادی تونل انتقال آب بهشت‌آباد پرداختند و دریافتند که این پارامتر از همبستگی فضایی خوبی برخوردار است. کائوکانگ کائو و همکاران<sup>۶</sup> [۱۸] به کمک روش زمین آمار وضعیت کیفیت توده سنگ (RMR) را در امتداد مسیر دو پروژه تونل بر اساس

در این شرایط استفاده از روش‌های زمین آماری، بهمنظور به حداقل رساندن خطأ و کاهش هزینه‌های مربوط به مطالعات ساختگاهی بسیار مفید خواهد بود. زمین آمار را می‌توان شاخه‌ای از علم آمار کاربردی دانست که در آن ساختار مکانی داده‌های نقطه‌ای موجود در محدوده مورد مطالعه، مورد بررسی قرار گرفته تا بتوان مقدار یک کمیت را در نقطه‌ای با مختصات مشخص، با استفاده از مقادیر معلوم همان کمیت در نقاط دیگر، بدست آورد [۹]. اگرچه عمدۀ زمینه‌های رشد و توسعه نظریه متغیرهای ناحیه‌ای، مسئله تخمین ذخایر معدنی بوده است ولی در زمینه‌های ژئوشیمی، زمین‌شناسی، ژئوفیزیک، مکانیک سنگ و تخمین مخازن هیدرولوکبئی نیز کاربردهای جالبی داشته است [۱۰].

در سال‌های اخیر، از زمین آمار بهمنظور بررسی همبستگی فضایی خواص مکانیکی سنگ و ویژگی‌سنگی توده سنگ نیز استفاده شده است. ازتورک و ناسوف<sup>۷</sup> [۱۱]، به کمک روش‌های زمین آماری، زون‌های مختلف مسیر احداث تونل فاضلاب شهر استانبول ترکیه را مورد مطالعه قرار دادند. این مطالعه بر روی سه مشخصه مکانیکی سنگ شامل مقاومت فشاری ماده سنگ، اندیس کیفی سنگ (RQD) و مقدار سختی چکش اشمیت و یک مشخصه برش‌پذیری سنگ شامل نرخ برش آنی (برای حفاری با ماشین حفار بازویی) انجام شد و نقشه پیش‌بینی نرخ برش آنی ماشین تهیه شد. او و همکاران<sup>۸</sup> [۱۲] با ادغام داده‌های مربوط به مغناطیسی زمین و داده‌های برداشت شده از گمانه‌ها، به کمک زمین آمار RMR محدوده مورد مطالعه را تعیین کردند. در این مطالعه از داده‌های مغناطیسی زمین به عنوان

<sup>3</sup> Rafiee and Vinches

<sup>4</sup> Ellefmo and Eidsvik

<sup>5</sup> Ferrari et al.

<sup>6</sup> Kaewkongkaew

<sup>7</sup> Ozturk and Nasuf

<sup>8</sup> Oh et al.

کاربردهای گسترده‌ای در زمینه‌های مختلف مهندسی معدن داشته است (به عنوان مثال در [۱۹، ۲۰، ۲۱، ۲۲، ۲۳، ۲۴، ۲۵، ۲۶، ۲۷، ۲۸ و ۲۹]).

از این‌رو در تحقیق حاضر، تخمین کیفیت توده سنگ بخش زیرزمینی معدن انگوران با استفاده از تحلیل‌گر زمین‌آماری در محیط GIS انجام می‌شود که خود یکی دیگر از نوآوری‌های تحقیق بهشمار می‌رود.

### ۳- سیستم رده‌بندی Q

سیستم رده‌بندی توده سنگ Q در سال ۱۹۷۴ توسط بارتون و همکاران [۶] از انسستیتوی ژئوتکنیکی نروژ ابداع شد. این روش سهم بزرگی در گسترش کاربرد طبقه بندی توده سنگ ایفا کرده است. Q یک سیستم کیفی مبتنی بر ارزیابی عددی از کیفیت توده سنگ با استفاده از امتیاز شش پارامتر اندیس کیفی سنگ (RQD)، تعداد دسته درزه ( $J_n$ )، عدد زیری درزه ( $J_r$ )، عدد کاهش آب درزه ( $J_w$ )، عدد هوازدگی درزه ( $J_a$ ) و ضرب کاهش تنش (SRF) است. این شش پارامتر که به صورت سه کسر گروه‌بندی می‌شود، کیفیت توده سنگ Q را طبق رابطه (۱) نشان می‌دهد.

$$Q = \frac{RQD}{J_n} \times \frac{J_r}{J_a} \times \frac{J_w}{SRF} \quad (1)$$

طبقه بندی توده سنگ براساس معیار Q از حساسیت بسیار بالایی برخوردار است به طوری که مقدار آن بین ۰/۰۰۱ تا ۱۰۰۰ تغییر می‌کند. به طول معمول از سیستم Q در حفاری تونل و فضاهای زیرزمینی برای بررسی شرایط پایداری استفاده می‌شود. توده سنگ براساس مقدار Q مطابق جدول (۱) در نه کلاس رده‌بندی می‌شود [۳۰]. آخرین تغییرات و بهروزرسانی در نحوه امتیازدهی و تعیین Q در سال ۲۰۰۲ توسط بارتون انجام شده است [۳۱].

داده‌های گمانه‌های اکتشافی در تایلنده پیش‌بینی کردند. ایشان دریافتند که برای استفاده از تحلیل زمین آماری در شرایط پیچیده زمین‌شناسی، تنها داده‌های اکتشافی از گمانه‌های قائم و نزدیک به قایم کافی نیست و انجام مطالعات ساختگاهی تکمیلی از جمله روش‌های ژئوفیزیکی در امتداد مسیر تونل ضروری بهنظر می‌رسد.

بررسی جامع مطالعات سال‌های اخیر نشان می‌دهد که روش‌های زمین‌آماری، ابزاری قابل قبول برای تخمین توزیع خواص مکانیکی سنگ در مسایل مهندسی سنگ است. همچنین بررسی‌ها نشان می‌دهد که مطالعات نسبتاً گسترده‌ای بر روی سیستم رده‌بندی خطی RMR و پارامترهای ورودی آن انجام شده و تاکنون مطالعه مشابهی بر روی سیستم غیرخطی Q انجام نشده است. از این‌رو در تحقیق حاضر، با استفاده از این تکنیک و برای اولین بار به بررسی همبستگی فضایی شاخص Q و تخمین توزیع آن در بخش زیرزمینی معدن سرب و روی انگوران پرداخته می‌شود. تحلیل‌های زمین‌آماری در بسته نرم‌افزاری سامانه اطلاعات جغرافیایی آرک جی آی اس<sup>۱</sup> انجام می‌شود.

سیستم اطلاعات جغرافیایی ابزاری است که امکان پردازش داده‌های فضایی و تبدیل آن‌ها به اطلاعات را فراهم می‌کند. از آنجایی که خروجی سیستم‌های اطلاعات جغرافیایی به صورت تصویری و بر روی نقشه نمایان می‌شود؛ تصورها، برداشت‌ها و استنتاج‌های ذهنی را به شدت تقویت نموده و موجب بهینه‌سازی تصمیم‌ها می‌شود. توانایی GIS در تلفیق متغیرهای مختلف با یکدیگر و ارائه مدل نهایی در قالب یک نقشه سبب گسترش کاربرد آن در سال‌های اخیر در زمینه‌های مختلف از جمله معدن کاری شده است. تاکنون تخمین‌های زمین‌آماری و تلفیق آن با GIS،

<sup>۱</sup> ArcGIS

نمودار چندک-چندک ( $Q-Q$ ) نرمال بودن داده‌های  $Q$  بررسی شد. بعد از بررسی نرمال بودن داده‌ها با استفاده از نمودار هیستوگرام و ابر سمی‌واریوگرام، خطاهای بارز عمومی و محلی بر روی داده‌های  $Q$  مورد بررسی قرار گرفت. سپس با استفاده از نرمافزار آرک جی آی اس وجود و یا عدم وجود روند در داده‌های  $Q$  بررسی شد. درنهایت، از روش کریجینگ برای تخمین وضعیت توده‌سنگ در معدن مورد مطالعه استفاده شد. واریوگرام با در نظر گرفتن ناهمسانگردی در گام‌های مختلف، ترسیم شد. واریوگرافی با هر سه مدل کروی، نمایی و گوسین انجام گرفت و با استفاده از پنج معیار خطای تخمین شامل خطای پیش‌بینی متوسط<sup>۱</sup> (MPE)، کوچکترین خطای پیش‌بینی ریشه میانگین مربعات<sup>۲</sup> (RMSPE)، خطای استاندارد میانگین پیش‌بینی<sup>۳</sup> (ASE)، خطای پیش‌بینی ریشه میانگین مربعات<sup>۴</sup> (MSPE) و خطای پیش‌بینی استاندارد شده ریشه میانگین مربعات<sup>۵</sup> (RMSSPE)، بهترین مدل از میان این سه مدل انتخاب شد. بهمنظور اعتبارسنجی و اطمینان از صحت پیش‌بینی، از روش اعتبارسنجی متقابل استفاده شد. درنهایت نقشه پیش‌بینی برای رده‌بندی کیفیت توده‌سنگ افق ۲۷۴۰+ بخش زیرزمینی معدن انگوران بدست آمد. فلوچارت مراحل انجام این تحقیق برای پیش‌بینی وضعیت کیفیت توده سنگ در شکل (۱) نشان داده شده است.

جدول ۱: طبقه‌بندی توده سنگ براساس مقدار  $Q$  [۲۲]

نوع کلاس	گروه	مقدار $Q$
خوب	۱	10-40
خیلی خوب		40-100
فوق العاده خوب		100-400
به طور استثنای خوب		400-1000
خیلی ضعیف	۲	0.1-1
ضعیف		1-4
متوسط		4-10
به طور استثنایی ضعیف	۳	0.001-0.01
فوق العاده ضعیف		0.01-0.1

#### ۴- روش تحقیق

بهمنظور پیش‌بینی وضعیت کیفیت توده‌سنگ افق ۲۷۴۰+ بخش زیرزمینی معدن انگوران، ابتدا اطلاعات آماری در ۴۲۷ نقطه از تونل آماده‌سازی محدوده مورد مطالعه، جمع‌آوری و بانک اطلاعاتی تهیه شد. از آنجایی که به دلیل وجود محدودیت‌های عملی، امکان نمونه‌برداری جامع در تمامی نقاط محدوده برای تعیین وضعیت کیفیت توده‌سنگ وجود ندارد، می‌توان از روش‌های درون‌یابی به عنوان ابزاری برای آنالیز و نمایش مقادیر مربوط به وضعیت کیفیت توده‌سنگ در مکان‌های فاقد نمونه‌برداری استفاده کرد. دانش زمین آمار با استفاده از تخمین‌گرهای آماری مختلف نظری کریجینگ، شرایطی را فراهم می‌سازد تا با استفاده از اطلاعات حاصل از نقاط نمونه‌برداری شده، وضعیت کیفیت توده‌سنگ را در نقاط فاقد نمونه تخمین زد. کریجینگ به عنوان بهترین تخمین‌گر خطی نالاریب شناخته می‌شود. رابطه کلی کریجینگ به صورت رابطه (۲) است:

$$z^*(x_i) = \sum_{i=1}^n l_i z(x_i) \quad (2)$$

که در آن،  $(x_i)^*$ : مقدار تخمینی متغیر در موقعیت  $x_i$ ،  $l_i$ : وزن مربوط به نمونه  $i$ ام،  $z(x_i)$ : مقدار متغیر  $i$ ام و  $n$ : نیز تعداد پارامترها است.

در تحقیق حاضر، ابتدا با استفاده از نمودار هیستوگرام و

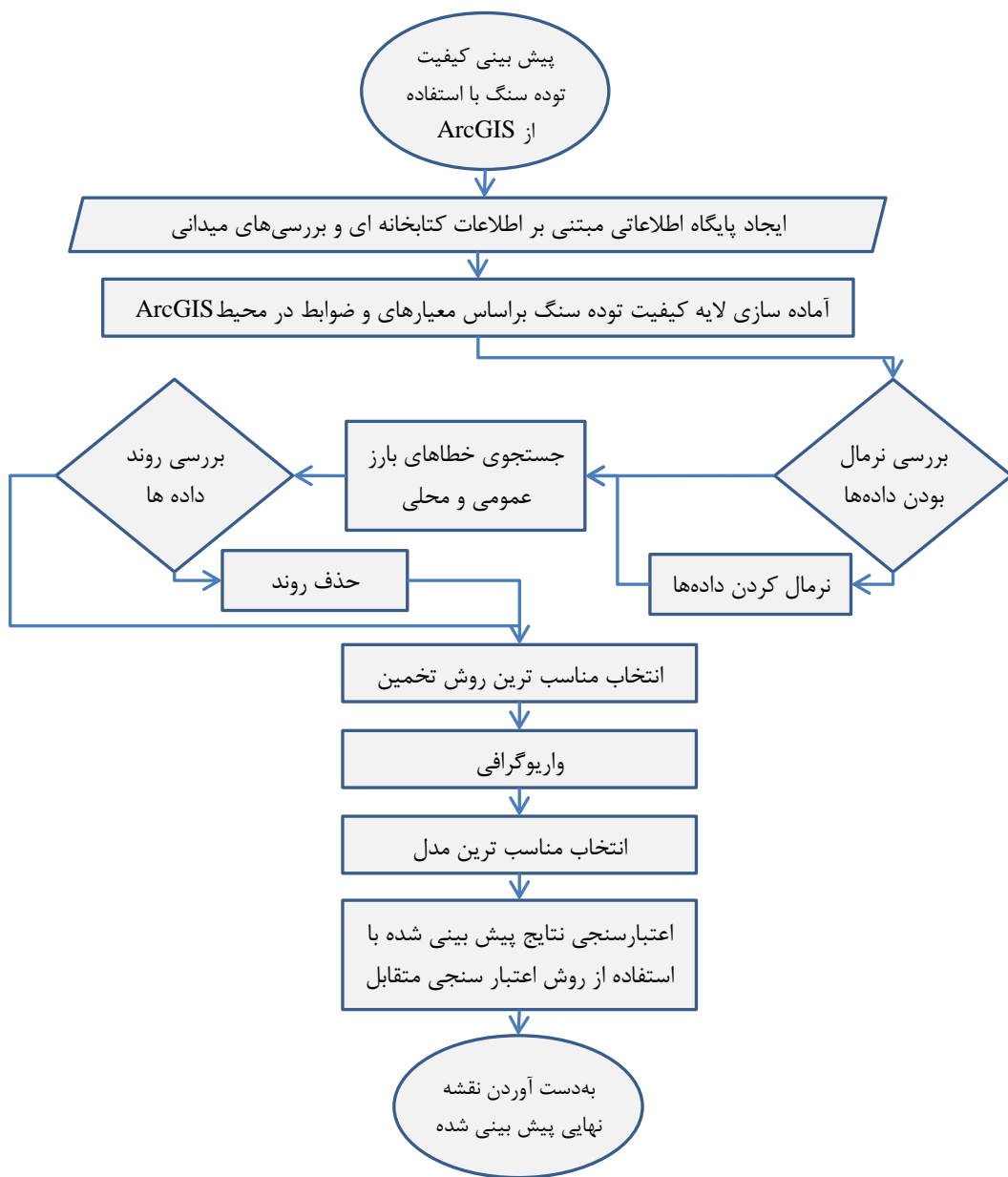
<sup>1</sup> Mean prediction error

<sup>2</sup> Root mean squared prediction error

<sup>3</sup> Average standard error

<sup>4</sup> Mean squared prediction error

<sup>5</sup> Root mean square standardized prediction error



شکل ۱: فلوچارت روش تحقیق برای پیش‌بینی وضعیت کیفیت توده‌سنگ

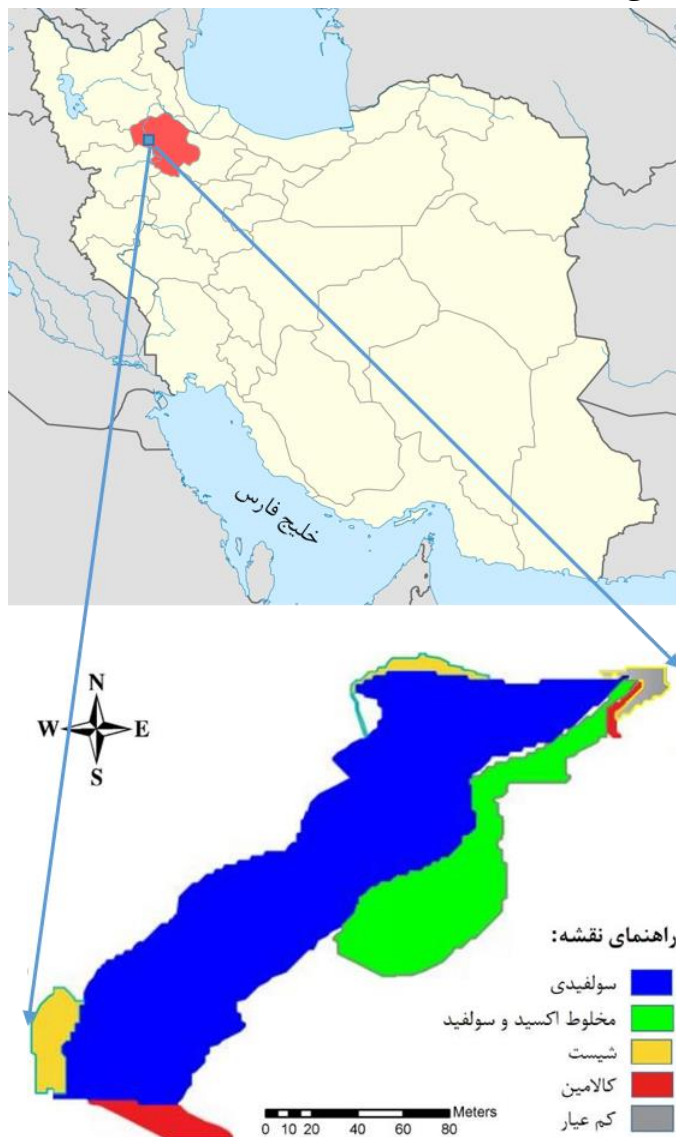
سمت جنوب شرق است و در کمرپایین شیستهای دگرگونی قرار دارد که شیب کلی آنها ۱۰ تا ۲۵ درجه در جهت جنوب شرق است. شکل هندسی کانسار تقریباً مشابه یک عدسی یا گلابی وارونه و دارای شیبی در حدود ۲۰ تا ۳۰ درجه به طرف جنوب شرق است. این کانسار از سه بخش اکسیدی، سولفوره و مخلوط تشکیل یافته است. بخش اکسیدی

#### ۵- معدن سرب و روی انگوران

معدن سرب و روی انگوران در استان زنجان و در حدود ۱۲۳ کیلومتری جنوب غرب شهر زنجان و در ۳۰ کیلومتری شمال غربی شهرستان دندی قرار دارد. کانسار انگوران در بخش مرکزی یک تاقدیس و بین دو دگرگونی شیستی و آهکی واقع شده است. در کمر بالای کانسار طبقات آهکی وجود دارد که شیب کلی آنها در حدود ۲۰ تا ۲۵ درجه به

حد بالای آن  $+2750$  متر تعیین شده است. طبق برنامه ریزی های صورت گرفته، معدن در ۵ طبقه با روش استخراج از طبقات فرعی همراه با پرکننده استخراج خواهد شد [۳۲ و ۳۳]. در شکل (۲) موقعیت جغرافیایی معدن سرب و روی انگوران و وضعیت زمین شناسی محدوده مورد مطالعه نشان داده شده است.

در بالاترین قسمت کانسار، بخش سولفوره در پایین ترین قسمت و بخش مخلوط (اکسیدی و سولفوره) بین آن دو قرار گرفته است. تناز کل معدن انگوران ۱۲ میلیون تن می باشد که میزان ذخایر در قسمت روباز هشت میلیون تن و در بخش زیرزمینی چهار میلیون تن روی باعیار بالا است. حد پایین معدن زیرزمینی در تراز  $+2700$  متر و



شکل ۲ : موقعیت جغرافیایی و افق استخراجی  $+2740$  + بخش زیرزمینی معدن انگوران

نتایج به دست آمده از شکل (۳) و حدول (۲) نشان داد که هیستوگرام داده‌های  $Q$  متقارن نبوده و داده‌ها توزیع نرمال ندارد. بنابراین، قبل از تخمین، توزیع داده‌ها با استفاده از روش لگاریتمی نرمال شد.

جدول ۲ : آماره‌های توصیفی مربوط به داده‌های  $Q$

مقدار	آماره توصیفی
۰/۰۳۵	حداقل
۲۱۳/۳۳	حداکثر
۶۰/۵۱	میانگین
۱۳/۲	میانه
۷۴/۳۹	انحراف از معیار
۰/۷۴	چولگی
۲/۰۳	کشیدگی

## ۶-۲- بررسی خطاهای بارز محلی و عمومی

خطاهای بارز عمومی، نقطه نمونه اندازه‌گیری شده‌ای است که نسبت به مقادیر موجود در یک مجموعه داده، مقدار خیلی بالا و یا پایینی را دارد. برای مثال، اگر نقطه از ۱۰۰ نقطه، مقادیری بین ۳۰۰ تا ۴۰۰ دارد، اما صدمین نقطه مقدار ۷۵۰ داشته باشد، ممکن است این نقطه دارای خطاهای بارز عمومی باشد [۳۴]. خطاهای بارز محلی، نقطه نمونه اندازه‌گیری شده‌ای است که مقدار آن در محدوده نرمال مجموعه داده است، اما اگر به نقاط پیرامون آن توجه شود این مقدار به صورت غیرعادی بالا یا پایین است [۳۵].

خطاهای بارز عمومی و محلی با استفاده از هیستوگرام و ابر-سمی واریوگرام در این مطالعه مورد بررسی قرار گرفت. روش ارزیابی خطاهای بارز با هیستوگرام به این گونه است که اگر مقادیر حداکثر، موقعیت جداگانه (یعنی احاطه شده با مقادیر بسیار متفاوت) داشته باشد، ممکن است داده‌های  $Q$  به بررسی بیشتری نیاز پیدا کند و اگر لازم باشد حذف شود. بنابراین با توجه به نمودار هیستوگرام شکل (۳) در این مطالعه،

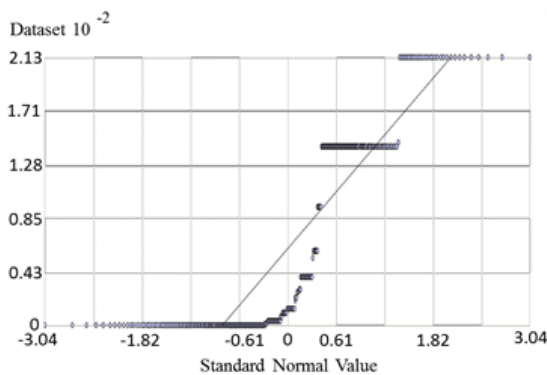
۶- پیش‌بینی وضعیت کیفیت توده سنگ افق استخراجی +۲۷۴۰ بخش زیرزمینی معدن انگوران در این پژوهش برای پیش‌بینی وضعیت کیفیت توده سنگ افق +۲۷۴۰ بخش زیرزمینی معدن انگوران از سیستم  $Q$  استفاده شد. در هر فاصله یک متری در تونل آماده‌سازی، شش پارامتر سیستم  $Q$  شامل اندیس کیفی سنگ ( $RQD$ )، تعداد دسته درزه ( $J_n$ )، عدد زیری درزه ( $J_r$ )، عدد کاهش آب درزه ( $J_w$ )، عدد هوازدگی درزه ( $J_a$ )، ضریب کاهش تنش ( $SRF$ ) جمع‌آوری و یک پایگاه داده تشکیل شد. برای نقاط برداشتی مقدار  $Q$  محاسبه شد. سپس برای تعیین وضعیت کیفیت توده سنگ در نقاط فاقد اطلاعات از روش درون‌یابی و تخمین‌گر زمین‌آماری استفاده شد. در نهایت، با توجه به اطلاعات به دست آمده از تحلیل‌های زمین‌آماری و براساس مقدار  $Q$  نقشه پیش‌بینی وضعیت کیفیت توده سنگ محدوده مورد مطالعه به دست آمد. در ادامه مراحل تخمین زمین‌آماری در محیط آرک جی آی اس آمده است.

## ۶-۱- بررسی نرمال بودن داده‌ها

اگر داده‌ها به صورت نرمال توزیع شده باشد، روش‌های درون‌یابی که برای ایجاد یک سطح مورد استفاده قرار می‌گیرد، بهترین نتیجه را به دنبال خواهد داشت. بنابراین درک توزیع داده‌ها قبل از ایجاد یک سطح ضروری است [۳۴]. به طور کلی، از ویژگی‌های مهم توزیع، مقدار مرکزی، گسترش و تقارن آن است. برای آنکه داده‌ها توزیع نرمال داشته باشد، به طور معمول باید میانگین و میانه شبیه هم باشد، چولگی نزدیک به صفر و کشیدگی در یک نمودار آماری نزدیک به ۳ باشد. اگر داده‌ها خیلی اریب باشد، باید از روش‌هایی مثل تکنیک‌های لگاریتمی برای نرمال کردن داده‌ها استفاده شود. بررسی نرمال بودن داده‌های  $Q$  با نمودار هیستوگرام و نمودار  $QQ$  انجام شد.

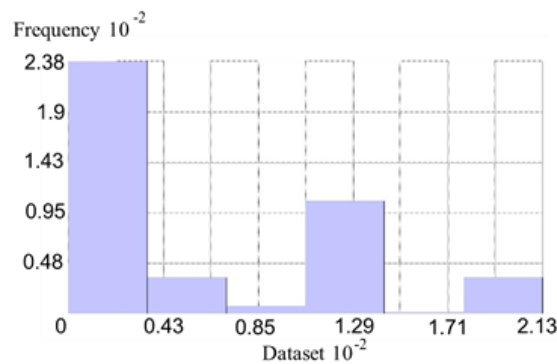
ابر سمیواریوگرام به گونه‌ای باشد که در انتهای سمت چپ محور  $X$ , با فاصله خیلی کم واقع شود و مقدار بالایی روی محور  $Y$  نشان دهد، بیانگر وجود خطای بارز محلی است.

در شکل (۴) ابر سمیواریوگرام برای داده‌های  $Q$  نشان داده شده است. با توجه به شکل (۳)، مشاهده می‌شود که در داده‌های  $Q$  خطای بارز عمومی و محلی وجود ندارد.

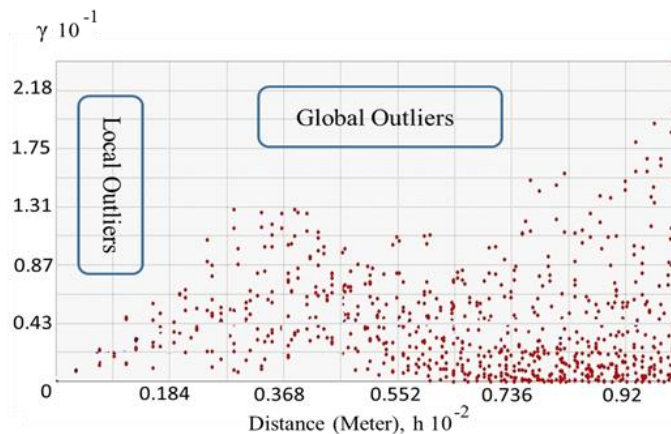


ب

در مقادیر بالای  $Q$  خطای بارز مشاهده نمی‌شود، از این رو نباید از مجموعه داده حذف شود. بررسی خطای بارز عمومی برای داده‌های  $Q$  با ابر سمیواریوگرام به این صورت است که اگر خطای بارز عمومی با یک مقدار بالای غیرعادی در داده‌ها موجود باشد، همه زوج نقاط بدون توجه به فاصله‌شان، مقادیر بالایی در سمیواریوگرام خواهد داشت. برای بررسی خطای بارز محلی با ابر سمیواریوگرام در داده‌های  $Q$ ، اگر زوج نقاط بر روی



الف

شکل ۳ : بررسی توزیع داده‌های  $Q$ : (الف) : با استفاده از نمودار هیستوگرام (ب) : با استفاده از QQ PlotNormalشکل ۴ : ابر سمیواریوگرام برای بررسی خطای داده‌های  $Q$ 

در داده‌ها (در صورت وجود) بایستی حذف شود تا اینکه داده‌ها شرایط ثابت یا ایستا پیدا کند [۳۶]. داده‌ها به منظور بررسی وجود یا عدم وجود روند، ارزیابی شد. برای تحلیل روند در داده‌های  $Q$  از آنالیز روند در نرم‌افزار آرک جی آی اس استفاده شد.

#### ۶-۳- بررسی روند در داده‌های $Q$

گاهی اوقات ممکن است به دلیل شرایط توپوگرافی، در داده‌ها روند وجود داشته باشد. به هنگام استفاده از کریجینگ به عنوان یک روش درونیابی، روند

بهینه نمونه‌برداری در محدوده‌ای که داده‌ها خودهمبستگی مکانی دارند با در نظر گرفتن تأثیر ناهمسانگردی، می‌توان از ابر سمی واریوگرام استفاده کرد [۳۶]. هدف از مدل‌سازی سمی واریوگرام انتخاب بهترین برآنش برای یک مدل با استفاده از زوج نقاط بر روی سمی واریوگرام می‌باشد [۳۴] [۳۷]:

تابع واریوگرام مطابق رابطه (۳) تعریف می‌شود [۳۷]:

رابطه (۳)

$$\hat{\gamma}(h) = \frac{1}{2N(h)} \sum_{i=1}^{N(h)} [Z(x_i) - Z(x_i + h)]^2$$

که در آن  $\gamma(h)$  برای تعداد  $N$  جفت نمونه است که به فاصله  $h$  از یکدیگر قرار گرفته‌اند.  $Z(x)$  نیز مقدار متغیر  $x$  در نقطه  $i$  می‌باشد.

ناهمسانگردی فرآیندی است که سمی واریوگرام بالاترین خودهمبستگی را در یک جهت نسبت به سایر جهت‌ها نشان می‌دهد. به منظور محاسبه دقیق تأثیرات جهتی روی مدل سمی واریوگرام برای محاسبات سطح، مدل سمی واریوگرام در جهت‌های مختلف ترسیم شد (جدول (۳)). با بررسی جهات مختلف مشاهده شد که داده‌های  $Q$  تقریباً در زاویه  $12^\circ$  درجه نسبت به شمال ( $N$ ) بیشترین خودهمبستگی و در زاویه  $102^\circ$  درجه کمترین خودهمبستگی را دارد. در کل با توجه به شکل (۶)، می‌توان مشاهده کرد که یک خودهمبستگی جهت‌دار (ناهمسانگردی) در داده‌های  $Q$  وجود دارد و روی شکل سمی واریوگرام تأثیر می‌گذارد. منحنی سمی واریوگرام به آرامی در جهت شمال شرق – جنوب غرب افزایش می‌یابد و بر روی نمودار سمی واریوگرام، پایین‌ترین منحنی آبی می‌باشد و در جهت جنوب شرق – شمال غرب منحنی سمی واریوگرام با سرعت افزایش می‌یابد (بالاترین منحنی برآنش شده بر روی نمودار سمی واریوگرام). بنابراین می‌توان به این نتیجه رسید که ناهمسانگردی در داده‌ها وجود دارد و راستای محور بزرگ بیضی ناهمسانگردی، تقریباً در جهت شمال شرق – جنوب غرب می‌باشد.

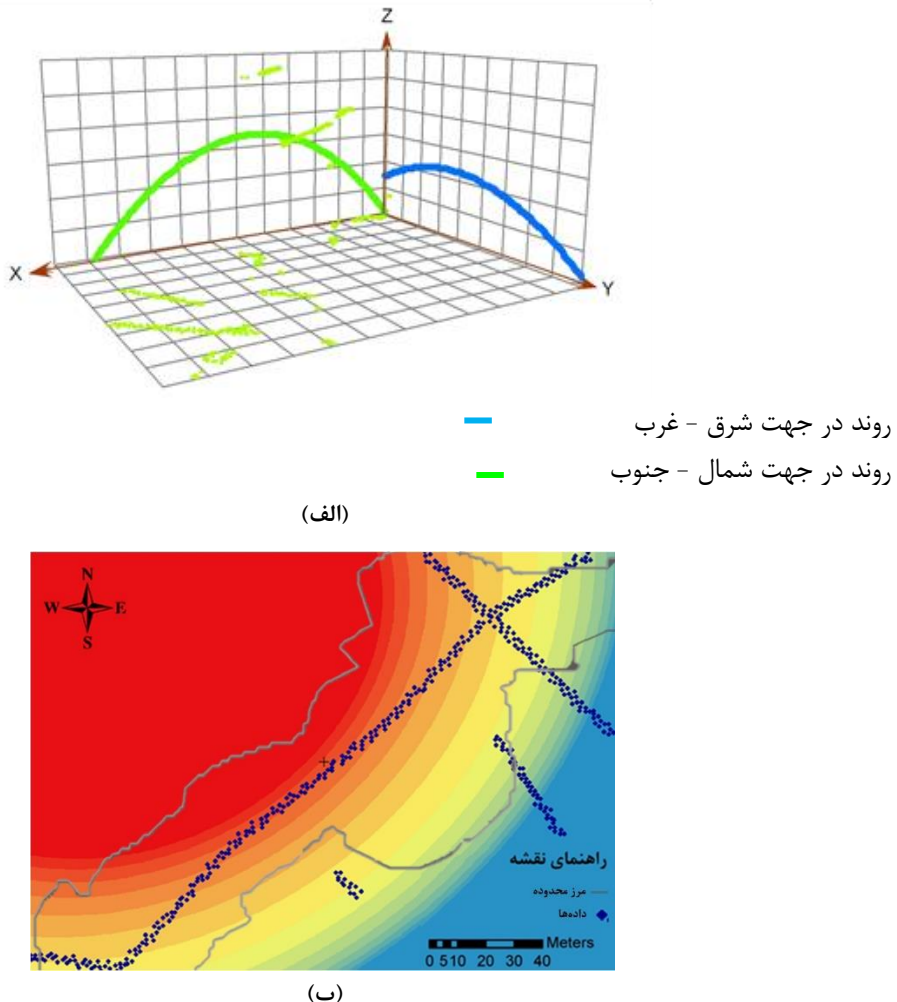
بررسی وجود روند با استفاده از نرم‌افزار آرک جی آی اس مطابق شکل (۵)، انجام شده است. نقاط روی یک صفحه تصویر شده ترسیم می‌شود (یک چندجمله‌ای) خطی است که روندهای موجود در جهت‌های خاص را مدل‌سازی می‌کند. اگر این خط نسبتاً هموار باشد به این معنا است که روندی در داده‌ها وجود ندارد. نتایج بیانگر آن است که در داده‌های  $Q$  روند وجود دارد. در این مطالعه برای حذف روند از یک چند جمله‌ای درجه دو استفاده شد.

#### ۶-۴- انتخاب مناسب‌ترین نوع کریجینگ برای تخمین

در این مطالعه، به دلیل وجود روند در داده‌های  $Q$  از روش کریجینگ عام برای درون‌یابی استفاده شد. در این نوع کریجینگ ابتدا روند مدل‌سازی و حذف می‌شود. پس از حذف روند، تحلیل آماری بر روی باقی‌مانده‌ها یا اجزای با تغییرات کم سطح انجام می‌شود. قبل از این که سطح ایجاد شود روند به صورت خودکار اضافه می‌شود تا پیش‌بینی‌ها نتایجی معنی‌دار تولید کند. با حذف روند، تحلیل‌هایی که در ادامه انجام می‌پذیرد تحت تأثیر روند نخواهد بود و پس از اضافه شدن دوباره سطحی صحیح‌تر ایجاد می‌شود.

#### ۶-۵- واریوگرافی داده‌ها

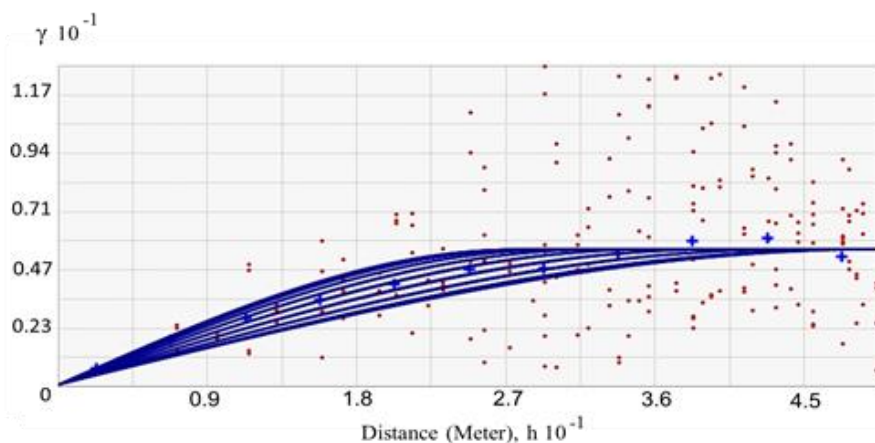
برای حداقل کردن خطای تخمین (مقادیر پیش‌بینی شده)، واریوگرافی انجام گرفت. سمی واریوگرام این امکان را فراهم می‌کند تا خودهمبستگی مکانی بین نقاط اندازه‌گیری شده، بررسی شود. در خودهمبستگی مکانی، فرض بر این استوار است که مشخصه نقاطی که به یکدیگر نزدیک‌تر هستند، به یکدیگر شبیه‌ترند [۳۴]. ابر سمی واریوگرام برای بررسی ویژگی‌های محلی خودهمبستگی مکانی در یک مجموعه داده استفاده می‌شود. به عنوان مثال، برای تعیین فاصله



شکل ۵ : بررسی روند در داده های Q (الف) : شناسایی نوع روند و (ب) : نقشه روند به همراه توزیع فضایی نقاط نمونه برداری در محدوده مورد مطالعه

جدول ۳ : مقایسه معیارهای خطای تخمین در سه مدل واریوگرافی

شعاع همبستگی (متر)	راستای ترسیم (درجه)
۴۵	۱۸۰
۳۳	۱۵۰
۲۸	۱۲۰
۲۹	۹۰
۳۰	۶۰
۴۲	۳۰



شکل ۶: بررسی ناهمسانگردی داده‌های Q (با استفاده از نمودار سمی‌واریوگرام).

جدول ۴: مقایسه معیارهای خطای تخمین در سه مدل واریوگرافی

گوسین	نمایی	کروی	مدل واریوگرام	
			معیار خطای	MPE
۲۳/۵۱	۱۷/۰۵	۱۳/۳۲		
۵۱/۸۱	۳۹/۷۳	۳۳/۹۱		RMSPE
۳/۸۱	۰/۰۱۳	۱/۵۶		ASE
۰/۰۰۴	۰/۰۰۰۴	۰/۰۰۱		MSPE
۰/۰۴۴	۰/۰۳۷	۰/۰۲۱		RMSSPE

جدول ۵: مقدار بهینه پارامترهای مورد استفاده در مدل واریوگرام

مقدار	پارامتر
۹۹	قطر بزرگ بیضی (متر)
۲۱/۴	قطر کوچک بیضی (متر)
۲۵	حداکثر تعداد نقاط شرکت کننده در تخمین
۱۰	حداقل تعداد نقاط شرکت کننده در تخمین
۰/۰۸۲	ناتگ

#### ۲-۵-۶- اعتبارسنجی نتایج

برای اطمینان از میزان دقت پیش‌بینی، از روش اعتبارسنجی متقابل استفاده شد. اعتبارسنجی متقابل برای پیش‌بینی مقادیر مجھول، معیار "چگونه خوب بودن" مدل را ارائه می‌دهد. برای همه نقاط اعتبارسنجی متقابل به صورت جداگانه

#### ۶-۵-۱- انتخاب مناسب‌ترین مدل

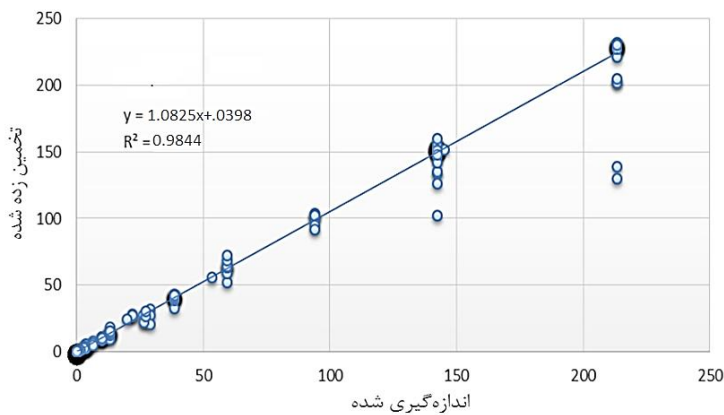
در نرم افزار ArcGIS توابع بهینه سازی جهت تعیین پارامترهای بهترین برآورد برای یک مدل وجود دارد. بنابراین در اعتبارسنجی معمولاً از پنج معیار خطای تخمین برای کنترل سازگاری مدل انتخابی استفاده می‌شود. این معیارها شامل خطای پیش‌بینی متوسط (MPE)، کوچک‌ترین خطای پیش‌بینی ریشه میانگین مربعات (RMSPE)، خطای استاندارد میانگین پیش‌بینی (ASE)، خطای پیش‌بینی ریشه میانگین مربعات (MSPE) و خطای پیش‌بینی استاندارد شده ریشه میانگین مربعات (RMSSPE) است. بهترین مدل، مدلی است که MPE نزدیک به صفر، RMSPE و ASE نزدیک به MSPE و RMSSPE نزدیک به یک داشته باشد [۳۸]. در این مطالعه، واریوگرافی با سه مدل کروی، نمایی و گوسین انجام شد. پس از انجام واریوگرافی و مقایسه نتایج با آماره‌های ذکر شده، مشخص شد که مدل کروی نسبت به دیگر مدل‌ها نتیجه بهتری را ارائه می‌دهد (جدول ۴). مقادیر بهینه پارامترهای مورد استفاده برای هر مدل واریوگرام در جدول (۵) آمده است.

مناسب‌ترین مدل برای پیش‌بینی وضعیت کیفیت توده‌سنگ است (جدول ۶). شکل (۷) اعتبارسنجی متقابل مقادیر  $Q$  پیش‌بینی و اندازه‌گیری شده مدل کروی را نشان می‌دهد. ضریب تشخیص ۹۸٪ کروی را نشان می‌دهد. یک پیش‌بینی خیلی خوب را نشان می‌دهد.

جدول ۶: مقایسه ضریب تشخیص در سه مدل واریوگرافی

گوسین	نمایی	کروی	مدل واریوگرام
۰/۸۸۷۷	۰/۹۳۰۲	۰/۹۸۴۴	ضریب تشخیص

یک نقطه را حذف می‌کند، مقدار آن را با استفاده از داده‌های باقیمانده پیش‌بینی کرده و سپس مقادیر اندازه گیری شده و پیش‌بینی شده مقایسه می‌شود. در کل، هدف اعتبارسنجی متقابل کمک به تصمیم‌گیری آگاهانه درباره این است که مدل به کار برده شده تا چه حدی پیش‌بینی دقیقتراز را ارائه می‌دهد. اعتبارسنجی متقابل برای هر سه مدل واریوگرام انجام شد. نتایج حاصل از اعتبارسنجی متقابل هم نشان داد که مدل کروی،



شکل ۷: اعتبارسنجی متقابل مقادیر  $Q$  پیش‌بینی و اندازه گیری شده

ID	Q	Included	Predicted	Error
1	0.08	Yes	0.0793851	-0.0006149
2	0.08	Yes	0.0864514	0.00645144
3	0.08	Yes	0.0872189	0.00721892
4	0.08	Yes	0.0860659	0.0060659
5	0.08	Yes	0.0870394	0.00703939
6	0.08	Yes	0.0845407	0.00454069
7	0.08	Yes	0.0860208	0.00602081
8	0.08	Yes	0.0868116	0.00681162
9	0.08	Yes	0.086049	0.00604901
10	0.08	Yes	0.0865323	0.00653234

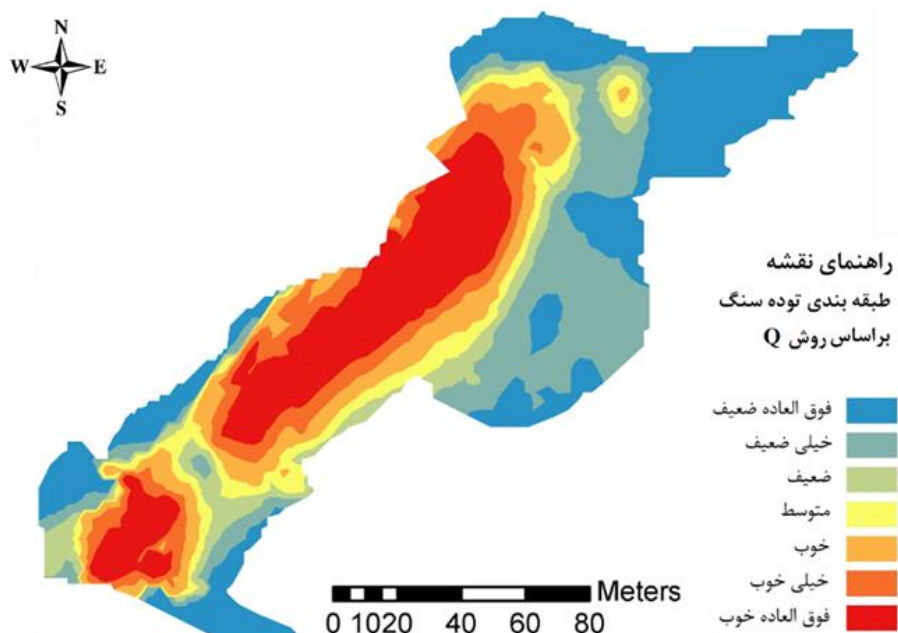
شکل ۸: مقایسه مقادیر پیش‌بینی و اندازه گیری شده  $Q$  برای ۱۰ نقطه

۷- نقشه رده‌بندی توده‌سنگ افق  $+2740$   
بخش زیرزمینی معدن انگوران  
پس از انجام تحلیل‌های زمین‌آماری  
بر روی داده‌های  $Q$ ، نقشه پیش‌بینی نهایی وضعیت کیفیت توده‌سنگ افق  $+2740$  و بخش زیرزمینی معدن انگوران در نرمافزار آرک جی آی اس بدست آمد.

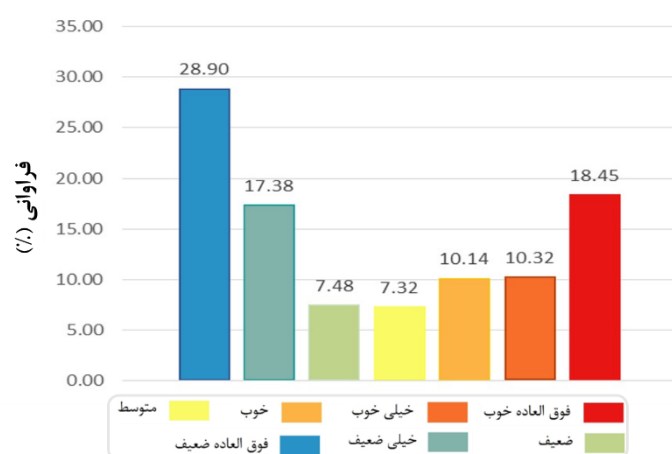
در ادامه، کنترل‌های مربوط به بررسی صحت عملکرد پیش‌بینی وضعیت کیفیت توده سنگ، بررسی شد. برای این منظور، عبارت "خطای پیش‌بینی" به منظور بررسی تفاصل بین مقادیر پیش‌بینی شده و مقادیر محاسبه شده برای هر نقطه برداشتی در تونل استفاده شد. به عنوان نمونه، در شکل (۸) در ۱۰ نقطه، اختلاف بین مقدار  $Q$  پیش‌بینی شده با استفاده از نرمافزار آرک جی آی اس با مقادیر محاسبه شده  $Q$ ، نشان داده شده است. در واقع بررسی شکل (۸) نشان می‌دهد که میزان خطای پیش‌بینی بسیار پایین بوده است. این مسئله بیانگر قابل قبول بودن دقّت پیش‌بینی در این تحقیق است.

مورد مطالعه، در رده خیلی ضعیف و فوق العاده ضعیف قرار می‌گیرد. بنابراین مناسب ترین وضعیت کیفیت توده سنگ مربوط به بخش سولفیدی و بدترین وضعیت کیفیت توده سنگ مربوط به بخش شیست و کم عیار می‌باشد. همچنین نتایج به دست آمده نشان داد که در کل محدوده مورد مطالعه دو طبقه توده سنگ به طور استثنایی ضعیف و به طور استثنایی خوب یافت نمی‌شود.

براساس پیش‌بینی انجام گرفته در نرم‌افزار آرک جی‌آی‌اس، در شکل (۹) می‌توان مشاهده کرد که توده سنگ محدوده مورد مطالعه در هفت گروه از فوق العاده ضعیف تا فوق العاده خوب طبقه‌بندی می‌شود. براساس نمودار فراوانی وضعیت توده سنگ تقریباً در افق ۲۷۴۰ + (شکل ۱۰)) دو تیپ توده سنگ وجود دارد. ۹٪ از کل مساحت محدوده مورد مطالعه در معدن انگوران، در رده خیلی خوب و فوق العاده خوب قرار می‌گیرد و ۴۶٪ از کل مساحت محدوده



شکل ۹: نقشه نهایی پیش‌بینی وضعیت کیفیت توده سنگ افق ۲۷۴۰ + بخش زیرزمینی معدن انگوران



شکل ۱۰: نمودار فراوانی وضعیت توده سنگ افق ۲۷۴۰ + بخش زیرزمینی معدن انگوران

## ۸- بحث و نتیجه‌گیری

شناخت وضعیت کیفیت تودهسنگ یک پیش‌نیاز بسیار مهم برای تحلیل پایداری و طراحی فضاهای در معدن کاری زیرزمینی بهشمار می‌رود. این شناخت عمولاً با حفر گمانه، چاه، چاهک، ترانشه، تونل آماده‌سازی و غیره با کمک گرفتن از سیستم‌های ردبندی تودهسنگ ایجاد می‌شود. عمولاً در انجام مطالعات ساختگاهی و اکتشافی، به دلیل وجود مشکلات عملیاتی و سرمایه‌ای، امکان نمونه برداری جامع از کل محدوده وجود ندارد، بنابراین به کمک روش درون‌یابی و تخمین‌گر زمین‌آماری می‌توان وضعیت

کیفیت تودهسنگ را در نقاط فاقد نمونه تعیین کرد.

در این تحقیق، برای تعیین وضعیت کیفیت تودهسنگ افق  $+2740$  بخش زیرزمینی معدن انگوران از سیستم تجربی  $Q$  استفاده شد. از آنجا که سیستم اطلاعات جغرافیایی برای تجزیه و تحلیل تأمین داده‌های فضایی و غیرفضایی ابزار مناسبی است، برای ردبندی و پهنه‌بندی وضعیت کیفیت تودهسنگ از تخمین‌گر زمین‌آماری در محیط GIS استفاده شد. برای این کار ابتدا مقدار پارامترهای ورودی شاخص  $Q$  در ۴۲۷ نقطه از تونل‌های آماده‌سازی جمع‌آوری و مقدار  $Q$  محاسبه شد. سپس برای مشخص کردن مقدار  $Q$  در سایر نقاط از درون‌یابی زمین‌آماری استفاده شد. به دلیل وجود روند در داده‌ها، کریجینگ عام برای درون‌یابی انتخاب شد. بررسی‌ها نشان داد یک خودهمبستگی جهت‌دار در داده‌های  $Q$  وجود دارد که راستای محور بزرگ بیضی ناهمسانگردی، تقریباً در جهت شمال شرق – جنوب غرب می‌باشد. واریوگرافی برای سه مدل کروی، نمایی و گوسین انجام شد. با مقایسه مدل‌ها به کمک پنج معیار ارزیابی خطای تخمین و رگرسیون خطی مشخص شد که سمتی واریوگرام مدل کروی بهترین برآذش را بر ساختار فضایی داده‌ها نشان می‌دهد. نتایج اعتبارسنجی نشان داد مدل از

سطح اعتماد بالای ۹۸ درصد برخوردار است. نتایج تحلیل و مدلسازی زمین‌آماری تطابق خوبی با نتایج تحقیق‌های مشابه داشت. مطالعه کائوکانگ کائو و همکاران [۱۸] نشان داد که برای داده‌های RMR در دو چهارستون افقی و قائم در سنگ‌های رسوبی ناهمسانگردی وجود دارد و در نهایت کریجینگ معمولی برای تخمین استفاده شد. در مطالعه ازتورک و ناسوف [۱۱]. سمی واریوگرام مدل کروی با ضریب همبستگی ۸۵٪ بهترین برآذش را بر ساختار فضایی داده‌های  $RQD$  نشان داد. همچنین در مطالعه دوست‌محمدی و همکاران [۱۷]، دو مدل گوسین و کروی به ترتیب برای مدلسازی واریوگرام در راستای افقی و قائم برای داده‌های شرایط ناپیوستگی انتخاب شد که در نهایت سطح اعتماد حدود ۸۰٪ برای نتایج تخمین بهدست آمد. در مطالعه اصفهانی و اصغری [۱۵]، واریوگرام مدل کروی برای برآذش بر ساختار فضایی داده‌های  $RQD$  با بیشترین دقیقت و قابلیت اطمینان انتخاب شد.

در کل، نتایج حاصل از نقشه پیش‌بینی نشان داد که وضعیت کیفیت تودهسنگ افق  $+2740$  بخش زیرزمینی معدن انگوران در هفت رده، از فوق العاده ضعیف تا فوق العاده خوب تغییر می‌کند. حدود ۵۳٪ از مساحت کل محدوده مورد مطالعه، در رده تودهسنگ ضعیف تا فوق العاده ضعیف، ۸٪ در رده تودهسنگ متوسط و ۳۹٪ در رده تودهسنگ خوب تا فوق العاده خوب قرار دارد. از آنجا که تمامی اطلاعات مورد استفاده در این تحقیق حین حفاری تونل آماده‌سازی جمع‌آوری شد، بدیهی است واریانس خطای تخمین با فاصله گرفتن از محور تونل‌ها افزایش خواهد یافت. برهمنی اساس پیشنهاد می‌شود اکتشافات تکمیلی در این نقاط انجام گیرد.

با انجام این تحقیق می‌توان نتیجه گرفت که علاوه بر گمانه‌های اکتشافی، استفاده از

پیشنهاد می‌شود.

### سپاسگزاری

نویسنده‌گان از مدیریت، کارشناسان و پرسنل محترم شرکت تهیه و تولید مواد معدنی ایران و معدن سرب و روی انگوران به خاطر مساعدت در گردآوری اطلاعات کمال تشکر و قدردانی را دارند.

اطلاعات جمع‌آوری شده حین حفاری تونل‌های آمده‌سازی کمک زیادی به ویژگی‌سنگی توده سنگ یک محدوده می‌کند. از آنجا که خروجی سیستم اطلاعات جغرافیایی در تمامی مراحل معدنکاری به برنامه‌ریزان و مهندسان در حل مسائل، طراحی‌ها و تصمیم‌گیری‌ها کمک می‌کند، استفاده از مدلسازی زمین آماری در محیط GIS به عنوان ابزار مناسبی برای تجزیه و تحلیل وضعیت توده سنگ در معدن زیرزمینی

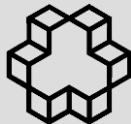
### مراجع

- [1] K. Terzaghi, "Rock defects and loads on tunnel supports", In: Rock Tunneling with Steel Supports, Youngstown, Ohio, pp. 15–99, 1946.
- [2] H. Lauffer, "Classification for tunnel construction", Geologie und Bauwesen, 24(1), pp. 46–51, 1958.
- [3] D. U. Deere, "Technical description of rock cores for engineering purposes", Rock Mech. Eng. Geol. 1(1), pp. 17–22, 1963.
- [4] G. E. Wickham, H. R. Tiedemann, and E. H. Skinner, "Support determination based on geologic predictions", In: Proc. RETC, AIME, New York, pp. 43–64, 1972.
- [5] Z. T. Bieniawski, "Engineering classification of jointed rock masses", Trans. S. Afr. Inst. Civ. Eng. 15, pp. 335–344, 1973.
- [6] N. Barton, R. Lien, and J. Lunde, "Engineering classification of rock masses for the design of tunnel support", Rock mechanics, Vol. 6(4), pp. 189–236, 1974.
- [7] A. Palmstrom, RMi - a rock mass characterization system for rock engineering purposes. PhD thesis, University of Oslo, 400 p., 1995.
- [8] E. Hoek, and E. T. Brown, "Practical estimates of rock mass strength", Int J Rock Mech Min Sci 34(8), pp. 1165–86, 1997.
- [9] J. W. Suh, and H. D. Park, "GIS-based subsidence risk assessment due to underground mining activities at Taebak Province in Korea", In: Proceedings of the 45th US rock mechanics/geomechanics symposium, San Francisco, USA, 2011.
- [10] R. E. Hammah, and J. H. Curran, "Geostatistics in Geotechnical Engineering: Fad or Empowering?", GeoCongress, pp. 1–5, 2006.
- [11] C. A. Öztürk, and E. Nasuf, "Geostatistical assessment of rock zones for tunneling", Tunnelling and Underground Space Technology, Vol. 17(3), pp. 275–85, 2002.
- [12] S. Oh, H. Chung, and D. K. Lee, "Geostatistical integration of MT and borehole data for RMR evaluation", Environmental Geology, Vol. 46(8), pp. 1070–78, 2004.
- [13] A. Rafiee, and M. Vinches, "Application of geostatistical characteristics of rock mass fracture systems in 3D model generation", International Journal of Rock Mechanics and Mining Sciences, Vol. 45(4), pp. 644–52, 2008.
- [14] S. L. Ellefmo, and J. Eidsvik, "Local and spatial joint frequency uncertainty and its application to rock mass characterisation", Rock Mechanics and Rock Engineering, Vol. 42(4), pp. 667–88, 2009.
- [15] N. M. Esfahani, and O. Asghari, "Fault detection in 3D by sequential Gaussian simulation of Rock Quality Designation (RQD)- Case study: Gazestan phosphate ore deposit, Central Iran", Arabian Journal of Geosciences, Vol. 6(10), pp. 3737–47, 2013.
- [16] F. Ferrari, T. Apuani, and G. P. Giani, "Rock Mass Rating spatial estimation by

- geostatistical analysis", International Journal of Rock Mechanics and Mining Sciences, Vol. 70, pp. 162-76, 2014.
- [17] M. Doustmohammadi, A. Jafari and O. Asghari, "Geostatistical estimation of discontinuities condition in Behesht-Abad water conveying tunnel", In: Proceedings of the 5th Iranian Mining Engineering Conference, Tehran, Iran, 2014 (Persian).
- [18] K. Kaewkongkaew, N. Phien-wej, and D. Kham-ai, "Prediction of rock mass along tunnels by geostatistics", KSCE Journal of Civil Engineering, Vol. 19(1), pp. 81-90, 2015.
- [19] V. Vaziri, J. Khademi Hamidi, and A. R. Sayadi, "Tabas mechanized coal mine roof classification using CMRR", In: Proceedings of the 5th Iranian Mining Engineering Conference, Tehran, Iran, 2014 (Persian).
- [20] V. Vaziri, J. Khademi Hamidi, and A. R. Sayadi, "Studying the impact of fault zones on mining process in Tabas coal mine using GIS", In: Proceedings of the National Mining Sciences Conference, Sari, Iran, 2014 (Persian).
- [21] V. Vaziri, J. Khademi Hamidi, and A. R. Sayadi, "Estimation of coal gas content using geostatistical methods in GIS environment: A case study from Tabas coal mine", In: Proceedings of the 24th International Mining Congress of Turkey, Antalya, Turkey, 2015.
- [22] A. Keogh, C. Moulton, and C. Iron, "Median indicator kriging—a case study in iron ore", In: Proceedings of the One Day Symposium: Beyond Ordinary Kriging. October 30th, Perth, Western Australia, 106–120, 1995.
- [23] W. D. Watson, L. F. Ruppert, L. J. Bragg, and S. J. Tewalt, "A geostatistical approach to predicting sulfur content in the Pittsburgh coal bed", International Journal of Coal Geology, Vol. 48, pp. 1–22, 2001.
- [24] J. Taboada, A. Vaamonde, A. Saavedra, and C. Ordóñez, "Geostatistical study of the feldspar content and quality of a granite deposit", Engineering Geology, Vol. 65, pp. 285–92, 2002.
- [25] C. D. Lloyd, and P. M. Atkinson, "Increased accuracy of geostatistical prediction of nitrogen dioxide in the United Kingdom with secondary data", International Journal of Applied Earth Observation and Geoinformation, Vol. 5(4), pp. 293–305, 2004.
- [26] D. Potoglou, and P. S. Kanaroglou, "Carbon monoxide emissions from passenger vehicles: predictive mapping with an application to Hamilton, Canada", Transportation Research Part D, Vol. 10(2), pp. 97–109, 2005.
- [27] J. W. Suh, and H. D. Park, "GIS-based subsidence risk assessment due to underground mining activities at Taebaek province in Korea", In: Proceedings of the 45th US Rock Mechanics/Geomechanics Symposium, San Francisco, USA, 2011.
- [28] E. Sutcu, "Use of GIS to discover potential coalfields in Yatagan–Milas area in Turkey", International Journal of Coal Geology, Vol. 98, pp. 95–109, 2012.
- [29] C. E. Akumu, J. A. Johnson, D. Etheridge, P. Uhlig, M. Woods, D. G. Pitt, and S. McMurray, "GIS-fuzzy logic based approach in modeling soil texture: Using parts of the Clay Belt and Hornepayne region in Ontario Canada as a case study", Geoderma, Vol. 239-240, pp. 13–24, 2015.
- [30] B. Singh, and R. K. Goel, Rock mass classification: a practical approach in civil engineering. Elsevier Science Ltd., 1999.
- [31] N. Barton, "Some new Q-value correlations to assist in site characterisation and tunnel design", International Journal of Rock Mechanics and Mining Sciences, Vol. 39(2), pp. 185–216, 2002.
- [32] Madan Zamin Co., Design of Anguran underground mine. Basic Design Report, 2004 (Persian).
- [33] Kavoshgaran Consulting Eng., Design of opening up and exploitation of Sulfur part, Anguran Lead and Zinc Mine. 2008.
- [34] K. Johnston, M. Jay, V. Hoef, K.

Krivoruchko, and N. Lucas, Using ArcGIS Geostatistical Analyst. Environmental System Research Institute – USA, 2003.

- [35] S. Hamad, Geostatistical analysis of groundwater levels in the south Al Jabal Al Akhdar area using GIS. Water resource department, General Water Authority, 32718, Benghazi, Libya, 2009.
- [36] K. H. Kamble, and P. Aggrawal, "Geostatistical Analyst for Deciding Optimal Interpolation Strategies for Delineating Compact Zones", International Journal of Geosciences, Vol. 2(4), pp. 585-96, 2011.
- [37] A. Margaret, and J. Carignan, Geostatistique linéaire application au domaine minier. Paris, Presses de l'École des Mines de Paris, 1997.
- [38] S. Burke, G. Chu, J. Heyer, J. Lee, X. Tang, T. Tran, and L. Zhang, Mass Quantification of PCE in Los Angeles Groundwater from the GeoTracker Database. Los Angeles, UCLA Institute of the Environment and Sustainability Senior Practicum, 2013.



## Evaluation of Rock Mass Quality in Underground Section of Anguran Mine Using Geostatistical Analyst in GIS Environment

Yasin Taghavi<sup>1</sup>, Jafar Khademi Hamidi<sup>2</sup>, Ahmad Reza Sayadi<sup>3</sup>

1- MSc Student, Mining Engineering Dept., Faculty of Engineering, Tarbiat Modares University

2- Assistant Professor, Mining Engineering Dept., Faculty of Engineering, Tarbiat Modares University

3- Associate Professor, Mining Engineering Dept., Faculty of Engineering, Tarbiat Modares University

### Abstract

Rock mass characterization is one of the most important parameters affecting the underground mine design. This study deals with the prediction of rock mass quality using geo-statistical estimator in Anguran underground mine at the level +2740. For this, a database consisting of 427 Q-based rock mass quality data sets was developed during the development of mine drifts. Accordingly, data were analyzed and checked for normality, trend and anisotropy. Analysis on Q-data showed that: 1- they do not have a normal distribution, 2- there are neither global nor local outliers in data 3- the data seem to exhibit a trend. In this study, the Universal Kriging was used due to existing trend in datasets. Taking into consideration five estimation error evaluation criteria, the best Variogram model was selected among three models: exponential, spherical and Gaussian. The results showed that spherical variogram model provides the best fit to the data's spatial structure. Cross validation showed high accuracy level for performance of geo-statistical estimator. Accordingly, the rock mass quality map for the area under study built in ArcGIS environment. The analysis results of final rock mass quality map revealed that about 53% of under study area has poor to extremely poor rock mass condition, 8% has fair and 39% has good to extremely good rock mass condition.

**Key words:** Rock mass quality classification, Geostatistical estimator, Geographic Information System (GIS), Anguran Mine.